



NATA LIGHTING CO.,LTD.
www.nata.cn
Email:info@nata.com
Tel:+86-750-3770000 Fax:+86-750-3771111
Address:380JinOu Road,GaoXin Zone,Jiang Men City,Guangdong,China

NT

Client:

LumCAT: 2-2640-L

Luminaire: 92.70.411.00

Report No: 20231023-B023

Ballast type: AC

Test No: 20231027-C023

Voltage(V): 34.970

LampCAT: Fortimo_SLM_C_1205

Current(A): 0.401

Lamp flux(lm): 2255.2

Power (W): 14.022

Number of Lamps: 1

PF: 0.000

Length(mm): 0

Width(mm): 0

Phm Type: C

Height(mm): 0

Photometric Results

Lumens(lm): 2082.26, Efficiency(%): 92.33% , Luminous Efficacy(lm/W): 148.50

Central intensity(cd): 6463.640, Maximum intensity(cd): 6463.640

Angle of maximum intensity: C=0.0 γ =0.0

Beam Angle(50%Imax): [C0/180]Total=25.6

[C90/270]Total=25.6

Field angle(10%Imax): [C0/180]Total=61.8

[C90/270]Total=61.8

Maximum s/h(1/2): C0_180=0.42 C90_270=0.42

Maximum s/h(1/4): C0_180=0.48 C90_270=0.48

Up flux rate of lamp(%): 0.00%

Down flux rate of lamp(%): 92.33%

Up flux rate of LUM(%): - -

Down flux rate of LUM(%): 100.00%

CIE Type : Direct lighting

Output flux ratio in π solid angle : 97.965%

$\gamma(^{\circ})$	Average I(cd)	Zonal F(lm)	Sum F(lm)	Eff Flux(%)	Eff Sum(%)
0.0	6463.640	0.000	0	0.00%	0.00%
1.0	6425.308	6.167	6.167	0.27%	0.30%
2.0	6299.447	18.264	24.431	0.81%	1.17%
3.0	6129.373	29.726	54.157	1.32%	2.60%
4.0	5892.391	40.241	94.397	1.78%	4.53%
5.0	5639.978	49.612	144.009	2.20%	6.92%
6.0	5317.959	57.587	201.596	2.55%	9.68%
7.0	5021.333	64.176	265.772	2.85%	12.76%
8.0	4686.443	69.477	335.248	3.08%	16.10%
9.0	4346.641	73.208	408.456	3.25%	19.62%
10.0	4026.075	75.770	484.227	3.36%	23.25%
11.0	3726.750	77.467	561.693	3.44%	26.98%
12.0	3431.992	78.255	639.948	3.47%	30.73%
13.0	3173.491	78.390	718.339	3.48%	34.50%
14.0	2899.560	77.735	796.073	3.45%	38.23%
15.0	2665.553	76.400	872.474	3.39%	41.90%
16.0	2432.306	74.698	947.172	3.31%	45.49%
17.0	2234.694	72.678	1019.849	3.22%	48.98%
18.0	2054.380	70.718	1090.567	3.14%	52.37%
19.0	1886.174	68.558	1159.124	3.04%	55.67%
20.0	1735.128	66.280	1225.404	2.94%	58.85%
21.0	1601.310	64.066	1289.471	2.84%	61.93%
22.0	1481.677	61.954	1351.425	2.75%	64.90%
23.0	1341.204	59.232	1410.656	2.63%	67.75%
24.0	1214.195	55.870	1466.527	2.48%	70.43%
25.0	1152.566	53.815	1520.342	2.39%	73.01%
26.0	1075.714	52.599	1572.94	2.33%	75.54%
27.0	987.225	50.470	1623.411	2.24%	77.96%
28.0	899.600	47.770	1671.181	2.12%	80.26%
29.0	812.923	44.804	1715.985	1.99%	82.41%
30.0	723.679	41.488	1757.473	1.84%	84.40%
31.0	637.383	37.876	1795.35	1.68%	86.22%
32.0	551.038	34.047	1829.397	1.51%	87.86%
33.0	467.911	30.019	1859.415	1.33%	89.30%
34.0	394.076	26.086	1885.501	1.16%	90.55%
35.0	325.023	22.333	1907.834	0.99%	91.62%
36.0	269.662	18.935	1926.769	0.84%	92.53%
37.0	232.367	16.373	1943.142	0.73%	93.32%

$\gamma(^{\circ})$	Average I(cd)	Zonal F(lm)	Sum F(lm)	Eff Flux(%)	Eff Sum(%)
38.0	185.047	13.933	1957.075	0.62%	93.99%
39.0	131.299	10.798	1967.873	0.48%	94.51%
40.0	104.729	8.232	1976.105	0.37%	94.90%
41.0	84.719	6.746	1982.851	0.30%	95.23%
42.0	69.559	5.605	1988.456	0.25%	95.50%
43.0	59.374	4.776	1993.232	0.21%	95.72%
44.0	51.493	4.184	1997.416	0.19%	95.93%
45.0	45.757	3.737	2001.154	0.17%	96.10%
46.0	41.315	3.405	2004.559	0.15%	96.27%
47.0	37.606	3.139	2007.698	0.14%	96.42%
48.0	34.845	2.929	2010.627	0.13%	96.56%
49.0	32.534	2.767	2013.394	0.12%	96.69%
50.0	30.777	2.640	2016.033	0.12%	96.82%
51.0	29.289	2.541	2018.574	0.11%	96.94%
52.0	28.216	2.468	2021.042	0.11%	97.06%
53.0	27.400	2.419	2023.461	0.11%	97.18%
54.0	26.757	2.387	2025.848	0.11%	97.29%
55.0	26.293	2.368	2028.216	0.11%	97.40%
56.0	25.919	2.359	2030.576	0.10%	97.52%
57.0	25.553	2.353	2032.929	0.10%	97.63%
58.0	25.110	2.343	2035.272	0.10%	97.74%
59.0	24.646	2.326	2037.598	0.10%	97.86%
60.0	23.961	2.296	2039.894	0.10%	97.97%
61.0	23.131	2.247	2042.142	0.10%	98.07%
62.0	22.141	2.181	2044.323	0.10%	98.18%
63.0	21.014	2.099	2046.422	0.09%	98.28%
64.0	19.934	2.009	2048.431	0.09%	98.38%
65.0	18.793	1.917	2050.348	0.08%	98.47%
66.0	17.692	1.820	2052.168	0.08%	98.55%
67.0	16.668	1.728	2053.896	0.08%	98.64%
68.0	15.831	1.646	2055.542	0.07%	98.72%
69.0	15.098	1.578	2057.12	0.07%	98.79%
70.0	14.475	1.519	2058.639	0.07%	98.87%
71.0	13.984	1.471	2060.11	0.07%	98.94%
72.0	13.562	1.432	2061.542	0.06%	99.01%
73.0	13.153	1.397	2062.939	0.06%	99.07%
74.0	12.794	1.364	2064.303	0.06%	99.14%
75.0	12.434	1.333	2065.636	0.06%	99.20%

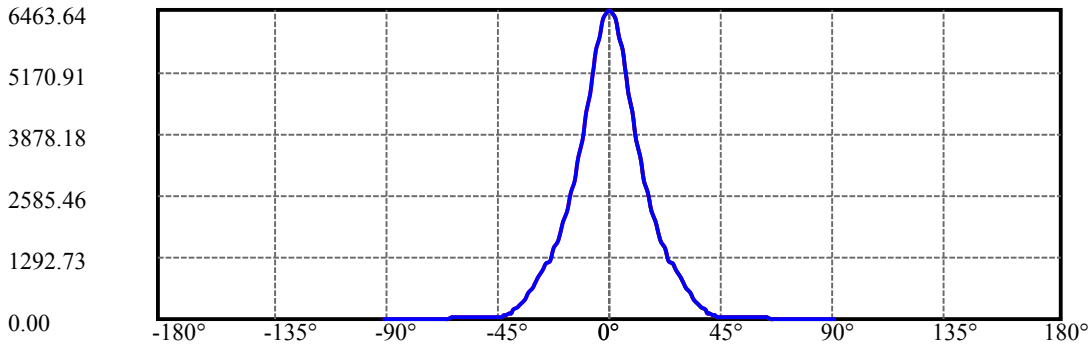
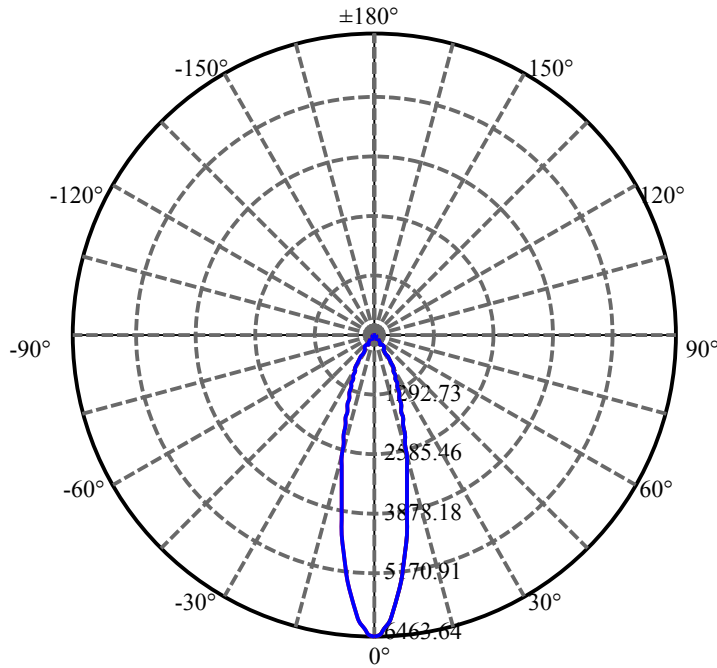
$\gamma(^{\circ})$	Average I(cd)	Zonal F(lm)	Sum F(lm)	Eff Flux(%)	Eff Sum(%)
76.0	12.074	1.301	2066.937	0.06%	99.26%
77.0	11.742	1.270	2068.207	0.06%	99.33%
78.0	11.431	1.240	2069.447	0.06%	99.38%
79.0	11.105	1.211	2070.658	0.05%	99.44%
80.0	10.801	1.181	2071.839	0.05%	99.50%
81.0	10.524	1.153	2072.992	0.05%	99.55%
82.0	10.220	1.125	2074.117	0.05%	99.61%
83.0	9.964	1.097	2075.215	0.05%	99.66%
84.0	9.715	1.072	2076.287	0.05%	99.71%
85.0	9.486	1.048	2077.335	0.05%	99.76%
86.0	9.272	1.025	2078.36	0.05%	99.81%
87.0	9.085	1.005	2079.365	0.04%	99.86%
88.0	8.877	0.984	2080.348	0.04%	99.91%
89.0	8.691	0.963	2081.311	0.04%	99.95%
90.0	8.607	0.948	2082.26	0.04%	100.00%

ZONAL LUMEN SUMMARY

Zone	Lumens	%Lamp	%Fixt
0-30	1757.47	77.93%	84.40%
0-40	1976.10	87.62%	94.90%
0-60	2039.89	90.45%	97.97%
0-90	2081.31	92.29%	99.95%
0-120	2081.31	92.29%	99.95%
0-180	2082.26	92.33%	100.00%
60-90	41.42	1.84%	1.99%
90-120	0.00	0.00%	0.00%
90-130	0.00	0.00%	0.00%
90-150	0.00	0.00%	0.00%
90-180	0.00	0.00%	0.00%
0-27.89	1665.81	73.87%	80.00%

ZONAL LUMEN SUMMARY

0-10	484.23
10-20	741.18
20-30	532.07
30-40	218.63
40-50	39.93
50-60	23.86
60-70	18.74
70-80	13.20
80-90	9.47
90-100	0.00
100-110	0.00
110-120	0.00
120-130	0.00
130-140	0.00
140-150	0.00
150-160	0.00
160-170	0.00
170-180	0.00



C0(Max): —————

C0/C180: —————

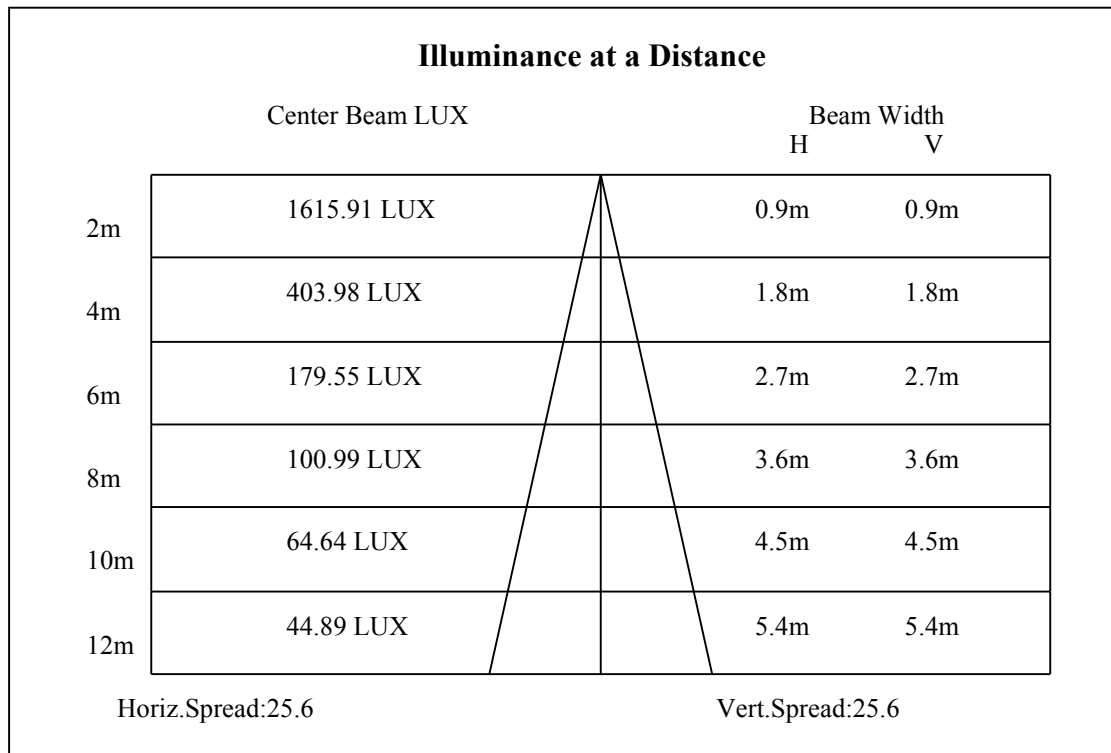
C90/C270: —————

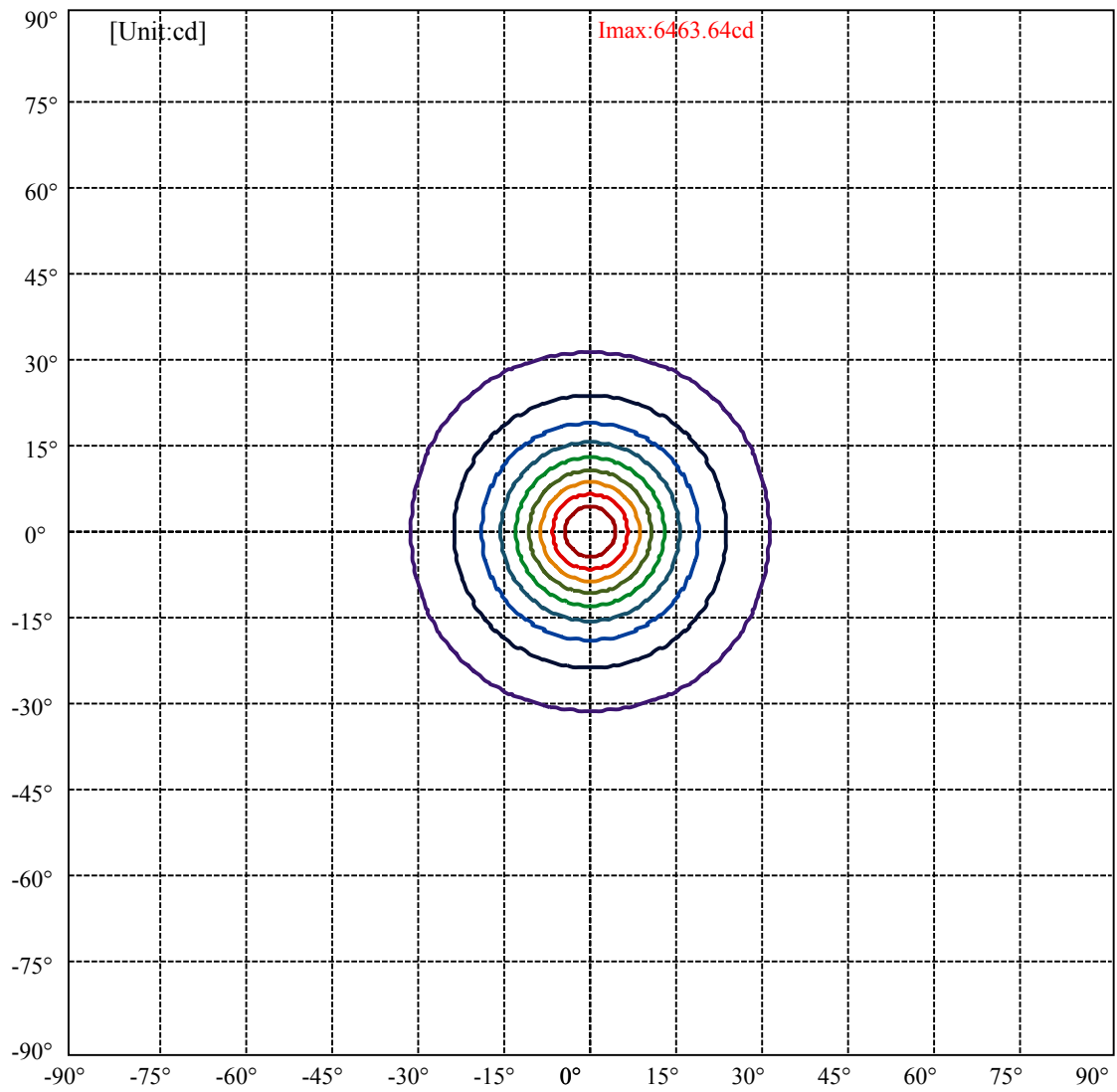
Field angle(10%Imax):C0/180Left:30.9 Right:30.9

:C90/270Left:30.9 Right:30.9

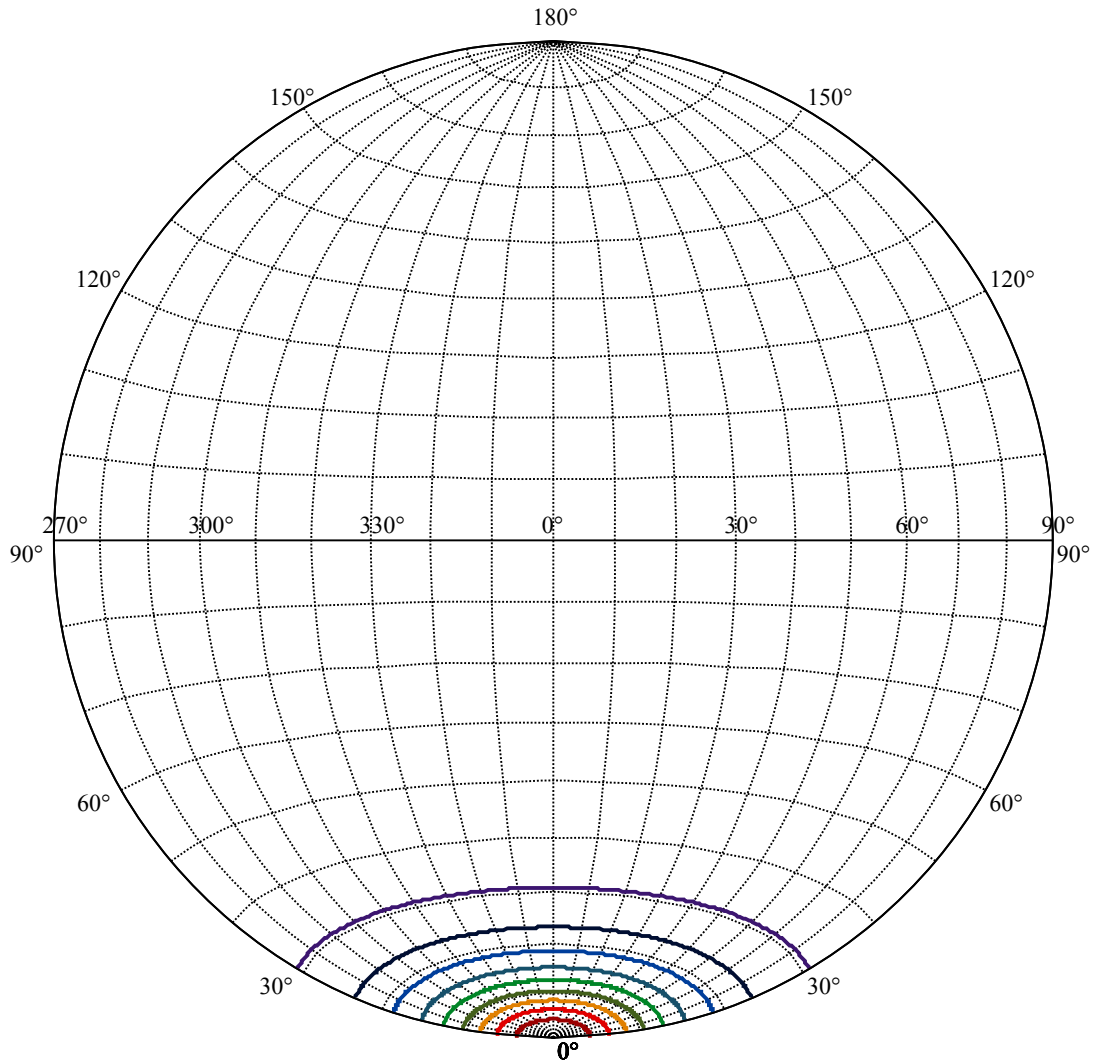
Beam Angle(50%Imax):C0/180Left:12.8 Right:12.8

:C90/270Left:12.8 Right:12.8





(10%Imax) 646.364	—
(20%Imax) 1292.73	—
(30%Imax) 1939.09	—
(40%Imax) 2585.46	—
(50%Imax) 3231.82	—
(60%Imax) 3878.18	—
(70%Imax) 4524.55	—
(80%Imax) 5170.91	—
(90%Imax) 5817.28	—



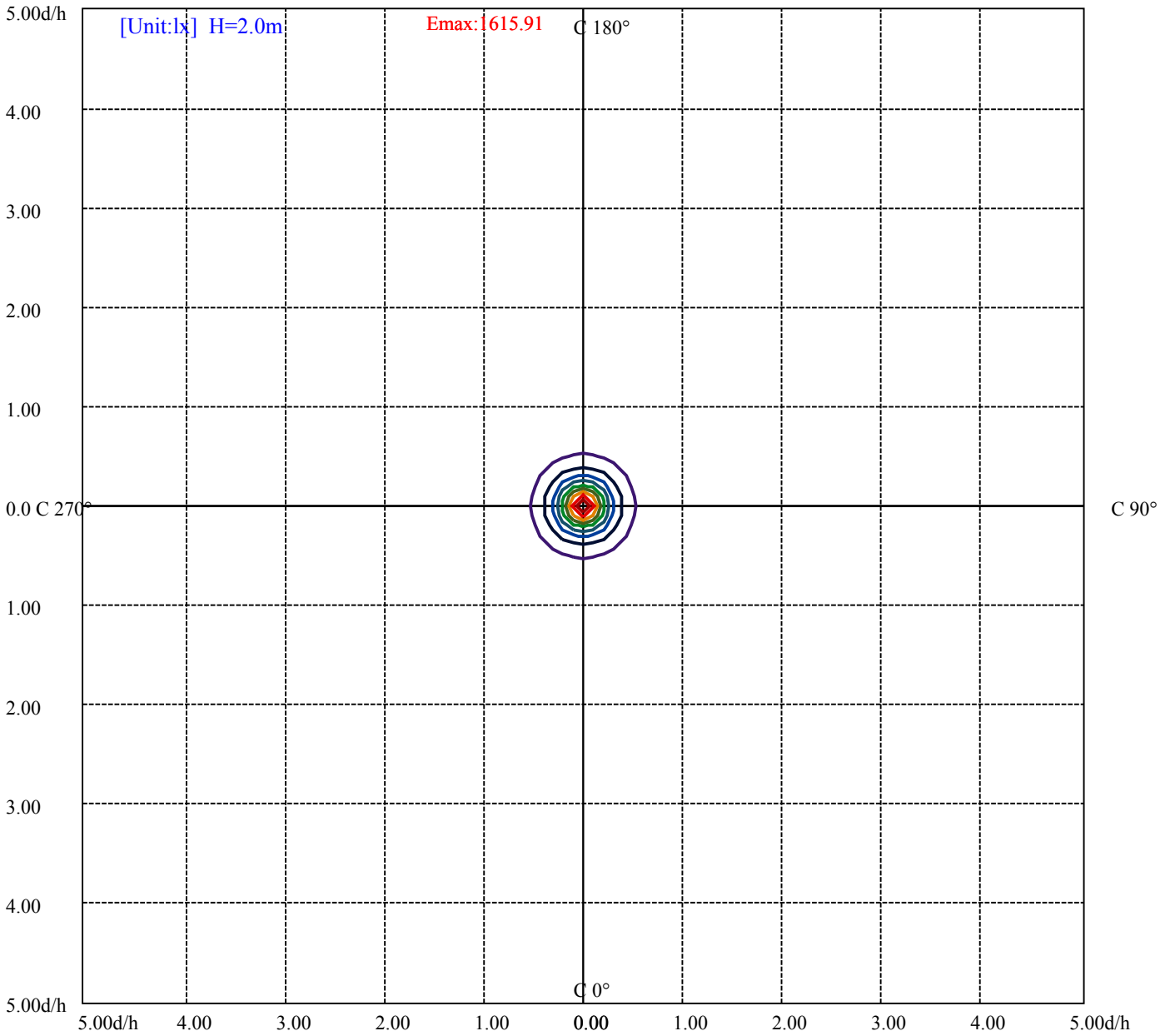
House

[Unit:cd]

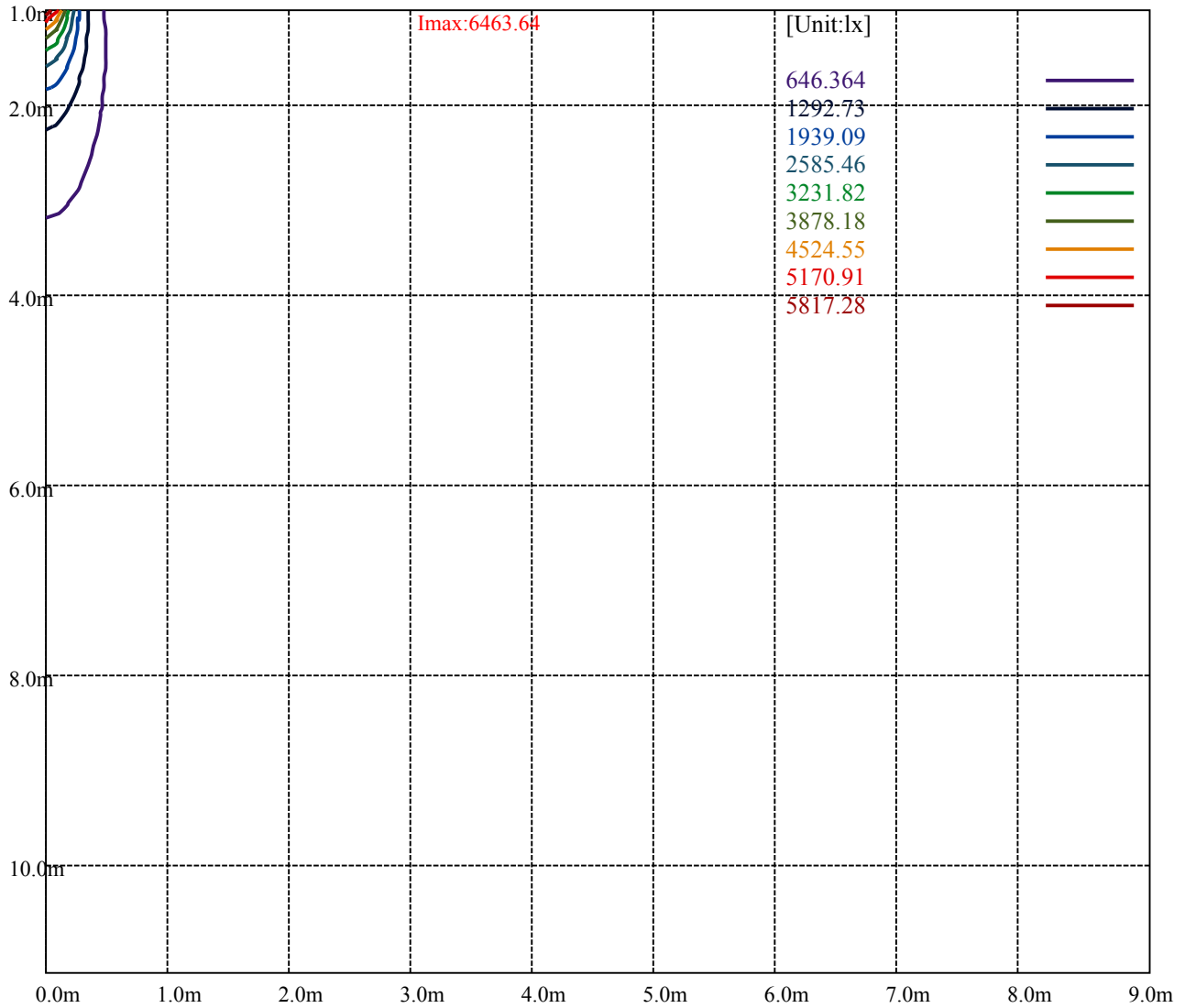
Road

Imax:6463.64

(10%Imax)	646.364	—
(20%Imax)	1292.73	—
(30%Imax)	1939.09	—
(40%Imax)	2585.46	—
(50%Imax)	3231.82	—
(60%Imax)	3878.18	—
(70%Imax)	4524.55	—
(80%Imax)	5170.91	—
(90%Imax)	5817.28	—



(10%Emax) 161.5907	—
(20%Emax) 323.1825	—
(30%Emax) 484.7725	—
(40%Emax) 646.3625	—
(50%Emax) 807.955	—
(60%Emax) 969.545	—
(70%Emax) 1131.135	—
(80%Emax) 1292.728	—
(90%Emax) 1454.318	—



Luminance Table

γ	45	50	55	60	65	70	75	80	85
C0	0	0	0	0	0	0	0	0	0
C45	0	0	0	0	0	0	0	0	0
C90	0	0	0	0	0	0	0	0	0

L(Hor)(65)	L(Ver)(65)	L45(65)	L(Hor)(75)	L(Ver)(75)	L45(75)	L(Hor)(85)	L(Ver)(85)	L45(85)
0	0	0	0	0	0	0	0	0

Glare Table

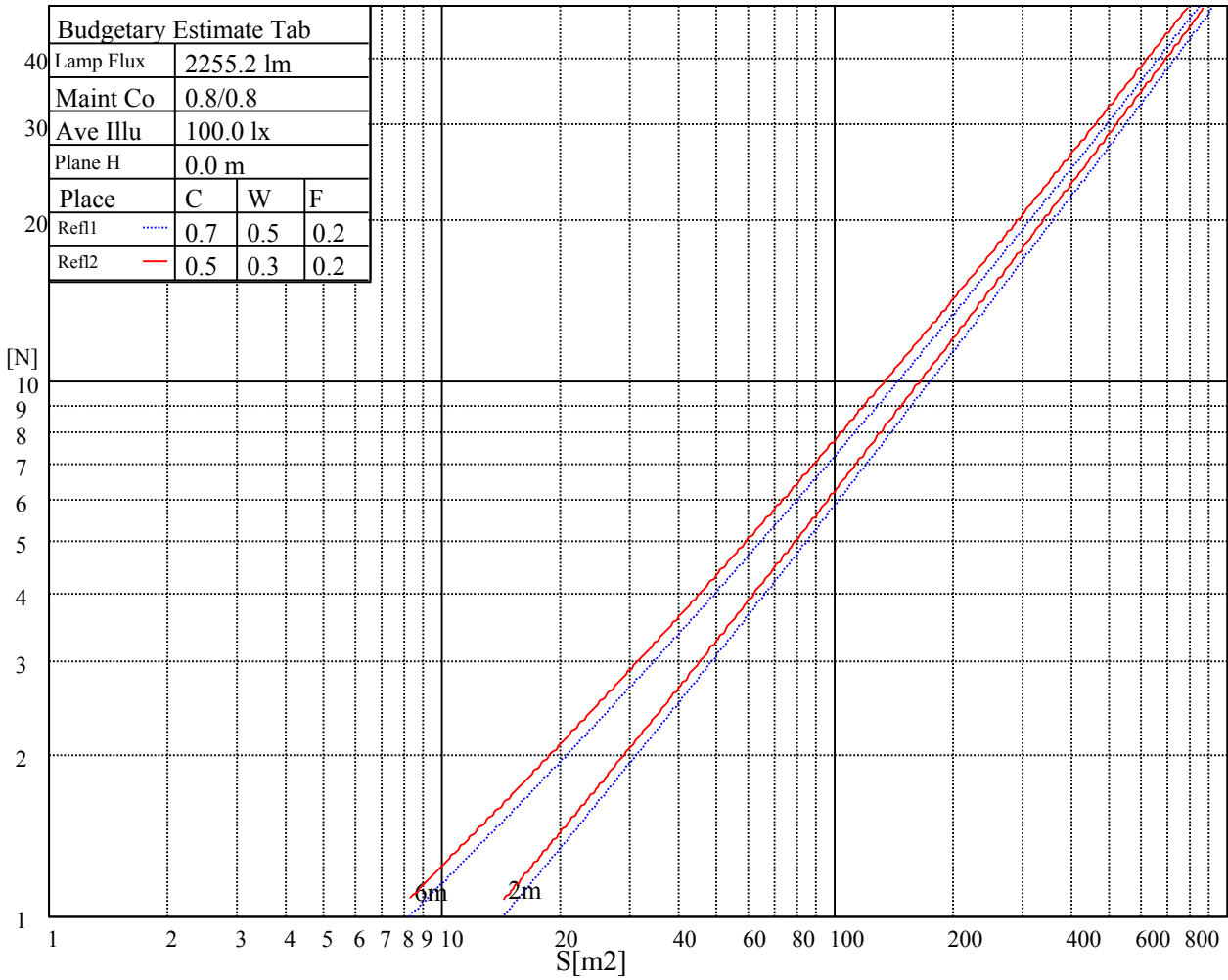
Glare	Quality	Service Values Illuminance(lx)							
1.15	A	2000	1000	500	<=300				
1.5	B		2000	1000	500	<=300			
1.85	C			2000	1000	500	<=300		
2.2	D				2000	1000	500	<=300	
2.55	E					2000	1000	500	<=300
		a	b	c	d	e	f	g	h

Luminance Limiting Curve

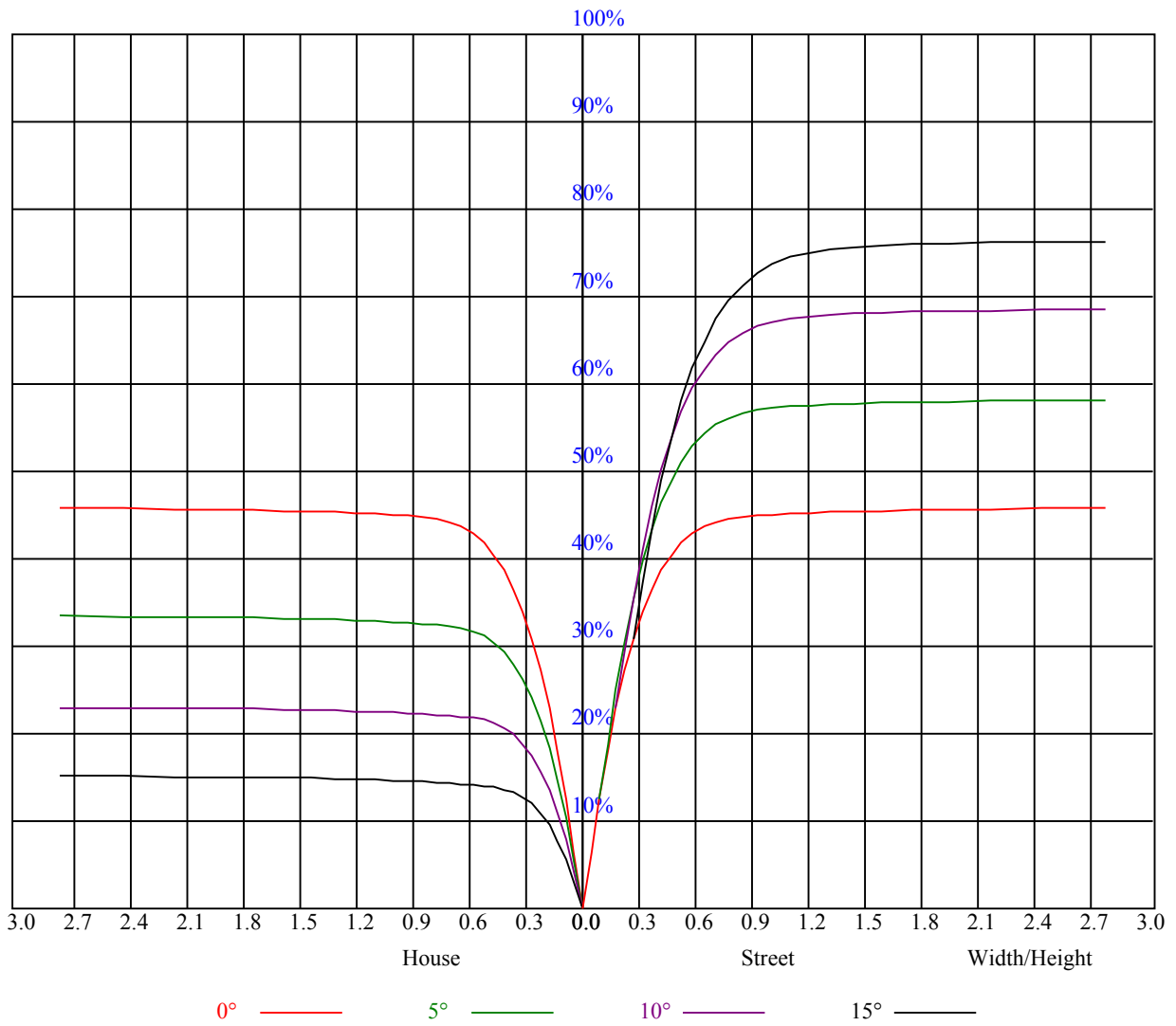


Illumination assessment according UGR											
Rf of Ceiling	70	70	50	50	30	70	70	50	50	30	
Rf of Wall	50	30	50	30	30	50	30	50	30	30	
Rf of Floor	20	20	20	20	20	20	20	20	20	20	
Room dimensions		Viewed crosswise					Viewed endwise				
X	Y										
2H	2H	非数字	非数字	非数字	非数字	非数字	非数字	非数字	非数字	非数字	
	3H	非数字	非数字	非数字	非数字	非数字	非数字	非数字	非数字	非数字	
	4H	非数字	非数字	非数字	非数字	非数字	非数字	非数字	非数字	非数字	
	6H	非数字	非数字	非数字	非数字	非数字	非数字	非数字	非数字	非数字	
	8H	非数字	非数字	非数字	非数字	非数字	非数字	非数字	非数字	非数字	
4H	12H	非数字	非数字	非数字	非数字	非数字	非数字	非数字	非数字	非数字	
	2H	非数字	非数字	非数字	非数字	非数字	非数字	非数字	非数字	非数字	
	3H	非数字	非数字	非数字	非数字	非数字	非数字	非数字	非数字	非数字	
	4H	非数字	非数字	非数字	非数字	非数字	非数字	非数字	非数字	非数字	
	6H	非数字	非数字	非数字	非数字	非数字	非数字	非数字	非数字	非数字	
8H	8H	非数字	非数字	非数字	非数字	非数字	非数字	非数字	非数字	非数字	
	12H	非数字	非数字	非数字	非数字	非数字	非数字	非数字	非数字	非数字	
	4H	非数字	非数字	非数字	非数字	非数字	非数字	非数字	非数字	非数字	
	6H	非数字	非数字	非数字	非数字	非数字	非数字	非数字	非数字	非数字	
	8H	非数字	非数字	非数字	非数字	非数字	非数字	非数字	非数字	非数字	
12H	12H	非数字	非数字	非数字	非数字	非数字	非数字	非数字	非数字	非数字	
	4H	非数字	非数字	非数字	非数字	非数字	非数字	非数字	非数字	非数字	
	6H	非数字	非数字	非数字	非数字	非数字	非数字	非数字	非数字	非数字	
8H	非数字	非数字	非数字	非数字	非数字	非数字	非数字	非数字	非数字		
Variation with the observer position at spacings:											
S = 1.0H		非数字/非数字					非数字/非数字				
S = 1.5H		非数字/非数字					非数字/非数字				
S = 2.0H		非数字/非数字					非数字/非数字				
Standard tables:		BK0					BK0				
Uncorrected UGR		负无穷大					负无穷大				

UGR calculation is based on CIE Publ. 117 ,S/H = 0.25



RHOCC	80			70			50			30			10			0
RHOW	50	30	10	50	30	10	50	30	10	50	30	10	50	30	10	0
RCR	COEFFICIENTS OF UTILIZATION RHOFC=20 CU															
0	1.10	1.10	1.10	1.07	1.07	1.07	1.03	1.03	1.03	0.98	0.98	0.98	0.94	0.94	0.94	0.92
1	1.03	1.01	0.99	1.01	0.99	0.97	0.97	0.96	0.94	0.94	0.93	0.91	0.91	0.90	0.89	0.87
2	0.97	0.93	0.91	0.95	0.92	0.90	0.92	0.90	0.88	0.90	0.87	0.86	0.87	0.85	0.84	0.83
3	0.91	0.87	0.84	0.90	0.86	0.83	0.88	0.85	0.82	0.86	0.83	0.81	0.84	0.81	0.80	0.78
4	0.87	0.82	0.79	0.86	0.82	0.78	0.84	0.80	0.77	0.82	0.79	0.77	0.80	0.78	0.76	0.74
5	0.82	0.78	0.74	0.82	0.77	0.74	0.80	0.76	0.73	0.79	0.75	0.73	0.77	0.74	0.72	0.71
6	0.79	0.74	0.70	0.78	0.73	0.70	0.77	0.73	0.70	0.75	0.72	0.69	0.74	0.71	0.69	0.68
7	0.75	0.70	0.67	0.75	0.70	0.67	0.73	0.69	0.67	0.72	0.69	0.66	0.71	0.68	0.66	0.65
8	0.72	0.67	0.64	0.71	0.67	0.64	0.71	0.67	0.64	0.70	0.66	0.63	0.69	0.66	0.63	0.62
9	0.69	0.64	0.61	0.69	0.64	0.61	0.68	0.64	0.61	0.67	0.63	0.61	0.66	0.63	0.61	0.60
10	0.66	0.62	0.59	0.66	0.62	0.59	0.65	0.61	0.59	0.65	0.61	0.58	0.64	0.61	0.58	0.57



Intensity data(cd)

C/γ(°)	0.0	1.0	2.0	3.0	4.0	5.0	6.0	7.0	8.0
0.0	6413.27	6279.87	6077.27	5867.48	5545.32	5258.04	4889.38	4591.58	4282.71
45.0	6496.30	6474.71	6364.56	6135.39	5938.33	5682.60	5342.18	5046.03	4739.93
90.0	6457.00	6337.43	6137.05	5933.91	5677.62	5394.21	5015.04	4696.75	4375.15
135.0	6488.00	6454.23	6333.01	6170.27	5940.55	5684.26	5403.62	5110.80	4728.86
180.0	6413.27	6484.67	6459.77	6352.93	6188.53	5954.39	5731.87	5449.56	5082.57
225.0	6496.30	6438.18	6294.81	6118.23	5912.87	5676.51	5317.27	5017.25	4709.48
270.0	6457.00	6511.24	6435.41	6333.01	6105.50	5873.02	5624.48	5337.75	4963.56
315.0	6488.00	6422.12	6293.70	6123.77	5830.39	5596.80	5219.84	4920.94	4609.29
360.0	6413.27	6279.87	6077.27	5867.48	5545.32	5258.04	4889.38	4591.58	4282.71
C/γ(°)	9.0	10.0	11.0	12.0	13.0	14.0	15.0	16.0	17.0
0.0	3881.95	3600.20	3347.23	3085.96	2799.79	2580.58	2373.01	2189.23	1987.19
45.0	4332.53	4035.28	3781.76	3440.78	3172.87	2926.54	2701.26	2437.77	2242.93
90.0	4090.63	3751.87	3464.03	3201.65	2948.13	2666.38	2455.49	2217.47	2053.62
135.0	4405.59	4097.83	3777.33	3512.74	3250.92	2938.72	2711.22	2440.54	2254.00
180.0	4779.23	4462.05	4062.95	3781.20	3531.56	3195.56	2944.26	2717.31	2517.48
225.0	4308.17	3988.78	3722.53	3412.55	3155.16	2920.46	2631.51	2426.70	2236.29
270.0	4660.77	4351.35	4035.28	3646.14	3403.69	3141.32	2893.89	2624.87	2413.42
315.0	4314.26	3921.25	3622.89	3374.91	3125.82	2826.91	2613.80	2404.56	2172.63
360.0	3881.95	3600.20	3347.23	3085.96	2799.79	2580.58	2373.01	2189.23	1987.19
C/γ(°)	18.0	19.0	20.0	21.0	22.0	23.0	24.0	25.0	26.0
0.0	1841.06	1708.21	1557.10	1449.16	1351.73	1085.93	1085.93	1065.06	959.22
45.0	2073.55	1922.43	1746.41	1619.09	1503.96	1373.88	1276.45	1161.87	1076.07
90.0	1905.82	1732.57	1608.02	1493.99	1365.57	1203.94	1092.51	1092.51	990.44
135.0	2087.38	1934.61	1759.69	1634.59	1518.90	1416.50	1317.42	1202.28	1118.14
180.0	2277.80	2097.35	1939.59	1763.01	1638.47	1519.46	1408.20	1282.54	1191.76
225.0	2065.24	1868.74	1730.35	1599.72	1484.03	1348.41	1093.62	1093.62	1051.72
270.0	2179.82	2001.59	1847.70	1682.75	1560.42	1451.92	1351.18	1234.39	1149.14
315.0	2004.35	1823.90	1692.16	1568.17	1430.34	1329.59	1088.25	1088.25	1069.21
360.0	1841.06	1708.21	1557.10	1449.16	1351.73	1085.93	1085.93	1065.06	959.22
C/γ(°)	27.0	28.0	29.0	30.0	31.0	32.0	33.0	34.0	35.0
0.0	873.92	791.72	689.43	604.41	523.92	447.92	362.62	300.51	244.77
45.0	989.72	888.43	806.50	725.69	642.66	562.39	466.08	395.22	329.35
90.0	908.96	827.37	743.79	639.06	556.69	459.49	388.58	321.99	248.54
135.0	1032.90	929.39	846.36	742.85	660.37	576.23	478.81	408.51	342.09
180.0	1086.04	1005.22	926.07	828.64	747.83	662.58	576.78	483.79	415.71
225.0	967.75	872.26	791.00	709.25	608.61	529.13	455.73	389.03	311.36
270.0	1069.43	992.49	892.85	815.36	736.76	630.48	550.21	473.83	389.69
315.0	969.08	889.92	807.39	724.19	622.23	540.09	464.47	379.73	318.67
360.0	873.92	791.72	689.43	604.41	523.92	447.92	362.62	300.51	244.77
C/γ(°)	36.0	37.0	38.0	39.0	40.0	41.0	42.0	43.0	44.0
0.0	197.17	149.84	120.12	92.55	77.00	65.65	55.46	49.26	44.39
45.0	282.86	282.86	160.25	128.48	98.86	81.70	66.54	57.84	51.15
90.0	200.10	159.42	127.37	97.81	80.93	68.47	59.17	50.59	45.33
135.0	280.09	280.09	165.95	131.35	105.56	82.42	69.30	59.67	50.98
180.0	350.39	291.71	291.71	178.46	142.59	114.36	88.68	74.01	61.00
225.0	257.39	209.35	168.61	128.20	103.46	85.24	68.64	59.39	50.93
270.0	327.14	283.96	283.96	163.79	130.86	99.30	81.20	68.08	58.51
315.0	262.15	201.71	162.41	129.75	98.58	80.59	67.48	56.13	49.65
360.0	197.17	149.84	120.12	92.55	77.00	65.65	55.46	49.26	44.39

Intensity data(cd)

C/γ(°)	45.0	46.0	47.0	48.0	49.0	50.0	51.0	52.0	53.0
0.0	40.41	36.48	33.99	32.05	30.50	29.01	28.06	27.34	26.74
45.0	44.73	40.68	37.36	34.65	32.05	30.39	29.06	28.01	27.12
90.0	41.13	36.98	34.32	32.27	30.22	28.89	27.90	26.96	26.29
135.0	45.72	41.46	37.25	34.60	32.38	30.28	28.89	27.90	27.12
180.0	53.64	47.83	42.23	38.69	35.87	33.60	31.27	29.84	28.73
225.0	45.78	41.63	38.30	34.98	32.88	31.22	29.84	28.51	27.79
270.0	50.10	44.95	40.91	37.53	34.32	32.38	30.39	29.17	28.23
315.0	44.56	40.52	36.48	33.99	32.05	30.44	28.89	28.01	27.18
360.0	40.41	36.48	33.99	32.05	30.50	29.01	28.06	27.34	26.74
C/γ(°)	54.0	55.0	56.0	57.0	58.0	59.0	60.0	61.0	62.0
0.0	26.29	26.02	25.63	25.13	24.74	23.86	22.92	22.03	20.92
45.0	26.46	26.07	25.68	25.30	24.74	24.36	23.64	22.81	21.70
90.0	25.91	25.57	25.19	24.80	24.41	23.91	22.92	22.09	21.09
135.0	26.40	25.91	25.63	25.30	24.74	24.41	23.69	22.92	22.03
180.0	27.84	26.96	26.46	26.02	25.57	25.19	24.80	24.02	23.19
225.0	27.12	26.57	26.24	25.91	25.41	24.96	24.30	23.19	22.31
270.0	27.40	26.96	26.57	26.29	25.96	25.52	25.19	24.58	23.41
315.0	26.63	26.29	25.96	25.68	25.30	24.96	24.24	23.41	22.47
360.0	26.29	26.02	25.63	25.13	24.74	23.86	22.92	22.03	20.92
C/γ(°)	63.0	64.0	65.0	66.0	67.0	68.0	69.0	70.0	71.0
0.0	19.60	18.60	17.49	16.66	15.61	14.95	14.45	13.89	13.51
45.0	20.65	19.65	18.60	17.38	16.44	15.61	15.00	14.34	13.89
90.0	19.76	18.71	17.66	16.61	15.72	14.89	14.28	13.89	13.51
135.0	20.81	19.82	18.76	17.44	16.61	15.78	15.06	14.39	13.95
180.0	22.14	21.03	20.04	18.99	17.66	16.83	16.00	15.22	14.56
225.0	21.20	20.15	18.76	17.71	16.83	15.94	15.11	14.56	14.12
270.0	22.53	21.42	20.04	18.93	17.77	16.88	15.83	15.11	14.45
315.0	21.42	20.09	18.99	17.82	16.72	15.78	15.06	14.39	13.89
360.0	19.60	18.60	17.49	16.66	15.61	14.95	14.45	13.89	13.51
C/γ(°)	72.0	73.0	74.0	75.0	76.0	77.0	78.0	79.0	80.0
0.0	13.06	12.68	12.40	12.01	11.68	11.40	11.13	10.74	10.46
45.0	13.51	13.01	12.73	12.40	12.01	11.73	11.35	11.13	10.79
90.0	13.06	12.73	12.40	12.07	11.73	11.46	11.18	10.79	10.46
135.0	13.56	13.17	12.79	12.45	12.12	11.79	11.46	11.18	10.85
180.0	14.17	13.73	13.23	12.90	12.51	12.12	11.79	11.46	11.13
225.0	13.62	13.23	12.90	12.45	12.12	11.68	11.40	11.13	10.85
270.0	14.00	13.62	13.23	12.84	12.45	12.12	11.85	11.40	11.13
315.0	13.51	13.06	12.68	12.34	11.96	11.62	11.29	11.02	10.74
360.0	13.06	12.68	12.40	12.01	11.68	11.40	11.13	10.74	10.46
C/γ(°)	81.0	82.0	83.0	84.0	85.0	86.0	87.0	88.0	89.0
0.0	10.24	9.96	9.74	9.52	9.30	9.08	8.86	8.69	8.64
45.0	10.52	10.24	9.96	9.69	9.47	9.30	9.08	8.86	8.64
90.0	10.30	10.02	9.74	9.58	9.30	9.08	8.97	8.75	8.58
135.0	10.52	10.24	9.96	9.74	9.52	9.24	9.08	8.86	8.64
180.0	10.85	10.52	10.24	9.96	9.74	9.52	9.30	9.08	8.86
225.0	10.52	10.19	10.02	9.69	9.52	9.30	9.13	8.91	8.75
270.0	10.85	10.46	10.13	9.91	9.63	9.41	9.24	9.02	8.80
315.0	10.41	10.13	9.91	9.63	9.41	9.24	9.02	8.86	8.64
360.0	10.24	9.96	9.74	9.52	9.30	9.08	8.86	8.69	8.64

Intensity data(cd)

C/γ(°)	90.0
0.0	8.64
45.0	8.58
90.0	8.64
135.0	8.64
180.0	8.64
225.0	8.58
270.0	8.58
315.0	8.58
360.0	8.64